

# 1 Fonction de corrélation pour QFT scalaire interagissante $\phi^4$

**Réponse.** La fonction de corrélation à trois points est nulle dans la théorie interagissante  $\phi^4$

$$\langle \Omega | T \{ \phi(x_1) \phi(x_2) \phi(x_3) \} | \Omega \rangle = 0, \quad (1.1)$$

où  $\phi(x)$  est un opérateur de champs Klein-Gordon dans le point de vue d'Heisenberg.

*Solution.* Par définition, la fonction de corrélation à trois points dans la théorie interagissante  $\phi^4$  en  $(d+1)$  dimensions prend la forme

$$\langle \Omega | T \{ \phi(x_1) \phi(x_2) \phi(x_3) | \Omega \rangle = \lim_{T \rightarrow \infty (1-i\epsilon)} \frac{\langle 0 | T \{ \phi_I(x_1) \phi_I(x_2) \phi_I(x_3) \exp \left( -i \int_{-T}^T dt \int d^3 \mathbf{z} \frac{\lambda}{4!} \phi_I^4(t, \mathbf{z}) \right) \} | 0 \rangle}{\langle 0 | T \{ \exp \left( -i \int_{-T}^T dt \int d^3 \mathbf{z} \frac{\lambda}{4!} \phi_I^4(t, \mathbf{z}) \right) \} | 0 \rangle}, \quad (1.2)$$

où  $\phi_I(x)$  est dans la représentation d'interaction. On se concentre maintenant sur le numérateur. Dans la dérivation, la limite sur  $T$  est implicitement définie dans les bornes de l'intégrale sur l'espace-temps  $\int d^4 z$ . Le développement de la série de Dyson nous permet d'écrire

$$\langle \Omega | T \{ \phi(x_1) \phi(x_2) \phi(x_3) | \Omega \rangle \propto \langle 0 | T \left\{ \begin{aligned} &\phi_I(x_1) \phi_I(x_2) \phi_I(x_3) \\ &+ \phi_I(x_1) \phi_I(x_2) \phi_I(x_3) \frac{(-i)\lambda}{4!} \int d^4 z \phi_I^4(z) \\ &+ \phi_I(x_1) \phi_I(x_2) \phi_I(x_3) \frac{(-i)^2 \lambda^2}{2!4!} \int d^4 z \phi_I^4(z) \int d^4 w \phi_I^4(w) \\ &+ \dots \end{aligned} \right\} | 0 \rangle \quad (1.3)$$

On peut évaluer chaque terme à l'aide du théorème de Wick. Le premier terme devient

$$\langle 0 | T \{ \phi_I(x_1) \phi_I(x_2) \phi_I(x_3) \} | 0 \rangle = \langle 0 | : \phi_I(x_1) \phi_I(x_2) \phi_I(x_3) + \left( \begin{array}{c} \text{Toutes les} \\ \text{contractions possibles} \end{array} \right) : | 0 \rangle \quad (1.4)$$

$$= 0 \quad (1.5)$$

En effet, il n'est pas possible de faire une contraction complète pour un nombre impair d'opérateurs. On peut démontrer explicitement ce fait pour le cas  $m = 3$

$$: \left( \begin{array}{c} \text{Toutes les} \\ \text{contractions possibles} \end{array} \right) : = : \overline{\phi_I(x_1) \phi_I(x_2) \phi_I(x_3)} + \overline{\phi_I(x_1) \phi_I(x_2) \phi_I(x_3)} + \phi_I(x_1) \overline{\phi_I(x_2) \phi_I(x_3)} :$$

Dans tous les cas, il reste au moins un opérateur  $\phi_I(x)$  tels que  $\langle 0 | : \phi_I(x) : | 0 \rangle = 0$ . Comme chaque terme dans le développement de la série de Dyson du numérateur possède strictement un nombre impair d'opérateur ( $m = 3 + 4n$ ,  $n \in \mathbb{N}_0$ ), alors

$$\langle 0 | T \{ \phi_I(x_1) \phi_I(x_2) \phi_I(x_3) \exp \left( -i \int d^4 z \frac{\lambda}{4!} \phi_I^4(z) \right) \} | 0 \rangle = 0 \quad (1.6)$$

D'un autre côté, le dénominateur possède toujours un nombre pair d'opérateurs ( $m = 4n$ ,  $n \in \mathbb{N}_0$ ). Donc,

$$\langle 0 | T \{ \exp \left( -i \int d^4 z \frac{\lambda}{4!} \phi_I^4(z) \right) \} | 0 \rangle \neq 0 \quad (1.7)$$

Ainsi,

$$\langle \Omega | T \{ \phi(x_1) \phi(x_2) \phi(x_3) | \Omega \rangle = 0 \quad (1.8)$$

□

## 2 Fonction de corrélation pour QFT scalaire interagissante $\phi^3$

On considère le terme d'interaction

$$\hat{H}_{\text{int}} = \int d^3\mathbf{x} \frac{\lambda}{3!} \hat{\phi}^3(\mathbf{x}) \quad (2.1)$$

a)

On cherche à déterminer

$$\mathcal{A}(x, y) = \lim_{T \rightarrow \infty(1-i\epsilon)} \langle 0 | T \{ \phi(x) \phi(y) \exp \left( -i \int_{-T}^T dt \hat{H}_{\text{int}}(t) \right) \} | 0 \rangle, \quad (2.2)$$

à l'ordre  $\lambda^2$  inclusivement, où  $\phi(x)$  est un opérateur de champs Klein-Gordon dans la représentation d'interaction. Le développement de la série de Dyson à l'ordre  $\lambda^2$  est

$$\mathcal{A}(x, y) = \langle 0 | T \{ \phi(x) \phi(y) \} | 0 \rangle + \frac{1}{2!} \left( \frac{-i\lambda}{3!} \right)^2 \langle 0 | T \{ \phi(x) \phi(y) \int d^4z \phi^3(z) \int d^4w \phi^3(w) \} | 0 \rangle + \mathcal{O}(\lambda^4). \quad (2.3)$$

Les termes d'ordre  $\lambda^{2n+1}$ ,  $n \in \mathbb{Z}_0$ , s'annulent puisqu'ils contiennent un nombre impair de champs  $\phi$ . Le premier terme est simplement  $D_F(x - y)$ . Le second terme, par le théorème de Wick, est la somme des contractions complètes de  $m = 8$  opérateurs de champs. Au total, il y a  $(m - 1)!! = 105$  contractions complètes possibles. Or la plupart de ces contractions sont redondantes.

**Les graphes connectés à 4 sommets** On commence par énumérer les graphes connectés à 4 sommets, soit deux sommets qui correspondent aux points externes  $x$  et  $y$ , et deux sommets qui correspondent aux points internes  $z$  et  $w$ . Chacun de ces graphes possède 4 liens, ou propagateurs, correspondant à 4 contractions de 8 opérateurs. On peut énumérer les graphes connectés à 4 sommets uniques à partir des symétries des contractions. Pour simplifier la notation, on va simplement écrire

$$\phi(x)\phi(y)\phi(z)\phi(z)\phi(z)\phi(w)\phi(w)\phi(w) = \phi\phi\phi\phi\phi\phi\phi\phi \quad (2.4)$$

Les sommets  $z$  et  $w$  sont symétriques, de sorte que certains graphes sont équivalents par échange des sommets. Par exemple, les contractions suivantes sont congruentes

$$\begin{array}{c} \text{---} \text{---} \text{---} \text{---} \\ \text{---} \text{---} \text{---} \text{---} \end{array} \cong \begin{array}{c} \text{---} \text{---} \text{---} \text{---} \\ \text{---} \text{---} \text{---} \text{---} \end{array} \quad (2.5)$$

puisqu'elles correspondent à l'échange de deux sommets internes du graphe



Ce graphe possède un facteur de symétrie  $S = 2$  puisqu'il est possible d'échanger les deux liens entre  $z$  et  $w$ .

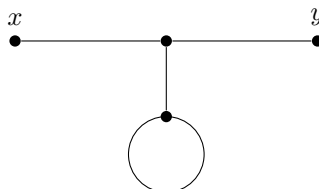
En effet, par le théorème de Wick, on peut compter le nombre de contractions congruentes à  $\phi\phi\phi\phi\phi\phi\phi\phi$  de la façon suivante:

$$\underbrace{2!}_{\text{Échange des sommets internes}} \times \underbrace{3!}_{\text{Placement des contractions pour } z} \times \underbrace{3}_{\text{Placement des contractions pour } w} \quad (2.6)$$

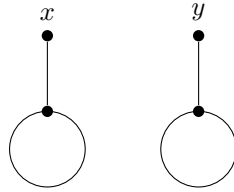
Ainsi, le préfacteur de ce graphe dans le développement de la série de Dyson sera

$$\frac{2! \cdot 3! \cdot 3}{2! \cdot 3! \cdot 3!} = \frac{1}{2} = \frac{1}{S} \quad (2.7)$$

Dans ce qui suit, on déduit simplement le facteur de symétrie par la structure du graphe. On peut ensuite construire le graphe suivant



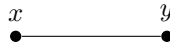
Ce graphe est associé aux contractions congruentes à  $\phi\phi\phi\phi\phi\phi$ . Ce graphe possède un facteur de symétrie  $S = 2$ , soit un facteur 2 qui correspond à la boucle fermée. Finalement, on peut construire un dernier graphe où  $x$  et  $y$  sont déconnectés l'un de l'autre, mais qui est tout de même considérés comme *connecté* puisqu'il ne contient pas de boucle du vide fermée et déconnectée des points externes.



Ce graphe correspond aux contractions congruentes avec  $\phi\phi\phi\phi\phi\phi$ , et possède un facteur de symétrie  $S = 4$ , qui correspond à la présence de deux boucles fermées.

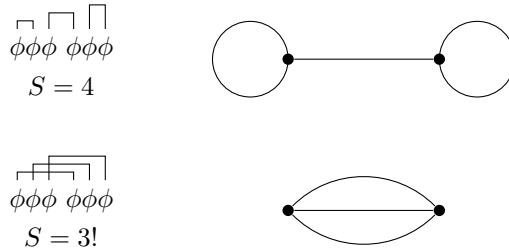
**Les graphes connectés à 3 sommets** On considère maintenant les graphes avec 3 sommets, soit deux points externes et un point interne. Dans une théorie  $\phi^3$ , il n'y a pas de graphes connectés à 3 sommets. En effet, une boucle du vide simple pour un terme à trois champs, par exemple  $\phi\phi\phi$ , doit toujours inclure une contraction avec un champ associé à un autre point, donc il n'est pas possible d'isoler un sommet du graphe.

**Les graphes connectés à 2 sommets** On considère maintenant les graphes avec 2 sommets, soit deux points externes. Trivialement, il n'y a qu'un seul graphe avec deux sommets externes, soit



qui correspond à la contraction  $\phi\phi$ , avec un facteur de symétrie  $S = 1$ .

**Les graphes déconnectés** On énumère finalement les graphes déconnectés. Tels que mentionné précédemment, il ne peut pas y avoir de graphe déconnecté à 1 sommet. À l'ordre  $\lambda^2$ , on a seulement les boucles fermées avec 2 sommets internes et 3 liens.



L'échange possibles de 3 liens entre  $z$  et  $w$  produit un facteur de symétrie  $S = 3!$ . En effet, par le théorème de

Wick on a que le nombre de contractions congruentes à  $\phi\phi\phi\phi\phi\phi$  est

$$\underbrace{2!}_{\text{Échange des sommets internes}} \times \underbrace{3!}_{\text{Placement des contractions pour } w} \quad (2.8)$$

d'où le préfacteur

$$\frac{2! \cdot 3!}{2! \cdot 3! \cdot 3!} = \frac{1}{3!} = \frac{1}{S} \quad (2.9)$$

En collectant tous ces graphes, on obtient le terme suivant

$$\begin{aligned} \mathcal{A}(x, y) = & D_F(x - y) + (-i\lambda)^2 \left( x \text{---} y \left( \text{self-loop on } x + \text{self-loop on } y \right) \right. \\ & \left. + x \text{---} \text{self-loop} \text{---} y + x \text{---} \text{self-loop} \text{---} \text{self-loop} \text{---} y + x \text{---} \text{self-loop} \text{---} \text{self-loop} \text{---} \text{self-loop} \text{---} y \right) + \mathcal{O}(\lambda^4) \end{aligned} \quad (2.10)$$

En collectant les facteur de symétrie pour chaque graphe, on obtient finalement l'amplitude en terme des propagateurs de Feynman

$$\mathcal{A}(x, y) = D_F(x - y) + (-i\lambda)^2 \int d^4z \int d^4w \left( \frac{1}{4} D_F(x - y) D_F(z) D_F(w) D_F(z - w) \right. \\ \left. + \frac{1}{3!} D_F(x - y) D_F^3(z - w) + \frac{1}{2} D_F(x - z) D_F^2(z - w) D_F(y - w) \right. \\ \left. + \frac{1}{2} D_F(x - z) D_F(z - w) D_F(w) D_F(y - z) + \frac{1}{4} D_F(x - z) D_F(z) D_F(w) D_F(y - w) \right) + \mathcal{O}(\lambda^4) \quad (2.11)$$

b)

On cherche à déterminer

$$\mathcal{B} = \langle 0 | T \{ \exp \left( -i \int_{-\infty}^{\infty} \hat{H}_{\text{int}}(t) dt \right) \} | 0 \rangle \quad (2.12)$$

à l'ordre  $\lambda^2$ . On a déjà trouver les bulles du vides qui contribuent à ce processus à l'ordre  $\lambda^2$ . Il n'y a pas graphes à l'ordre  $\lambda$  pour une théorie  $\phi^3$ . Ainsi,

$$\mathcal{B} = 1 + (-i\lambda)^2 \left( \text{diagram 1} + \text{diagram 2} \right) + \mathcal{O}(\lambda^4) \quad (2.13)$$

D'où

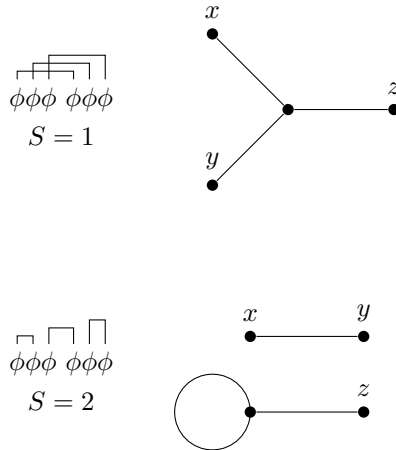
$$\mathcal{B} = 1 + (-i\lambda)^2 \int d^4z \int d^4w \left( \frac{1}{4} D_F(z - w) D_F(z) D_F(w) + \frac{1}{3!} D_F^3(z - w) \right) \quad (2.14)$$

c)

On cherche à calculer

$$\mathcal{C}(x, y, z) = \langle \Omega | T \{ \phi(x) \phi(y) \phi(z) \} | \Omega \rangle \quad (2.15)$$

à l'ordre  $\lambda$  inclusivement. On commence par utiliser la représentation d'interactions pour l'Hamiltonien de Klein-Gordon avec un terme d'interaction  $\phi^3$ ,  $\hat{H} = \hat{H}_0 + \hat{H}_{\text{int}}$ . On assume, sans perte de généralité, que  $x^0 > y^0 > z^0$ . Le terme  $\lambda^0$  ne contribue pas à  $\mathcal{C}$ . Pour le terme à l'ordre  $\lambda$ , on a les graphes suivants qui contribuent



$$\mathcal{C}(x, y, z) = -i\lambda \left( \text{diagram 1} + \text{diagram 2} \right) \quad (2.16) \\ = -i\lambda \left( D_F(x - w) D_F(y - w) D_F(z - w) + \frac{1}{2} D_F(x - y) D_F(z - w) D_F(w) \right)$$

En effet, le dénominateur de cette expression à l'ordre  $\lambda$  devient simplement l'unité puisque le terme à l'ordre  $\lambda$  contient 3 champs  $\phi$ .

### 3